

## 不規則波の反射に関する実験

京都大学工学部 正員 岩垣雄一  
 京都大学工学部 正員○村上仁士  
 横浜市港湾局 正員 金田孝文

### 1. まえがき

最大8個の異なる周期の正弦振動と油圧管内で合成する機構の不規則波発生機を用いて適當な周期の組合せによって起こる不規則波が、一定水深の水槽内を進行し、鉛直壁に衝突反射してかえってくら現象を実験によって検討したものである。

### 2. 実験方法

実験水槽は幅50cm、高さ80cm、長さ約30mの全面ガラス張りで、水深を30cmとした。これと中央で2分して、一方を入射波測定用検定水槽、他方を反射波測定用実験水槽とした。前者の一端には1/10こう配の消波装置を設置して波の反射を防止した。水位の測定は、鉛直壁面で重複波高を、1/4切板に対する位置で入射波高を電気抵抗線式波高計によって測定し、ペン書きオッショログラフ上に記録速度1.0cm/secで記録した。

### 3. 解析方法

1.で述べたように、各種の周期の波を組合すことにより発生しに不規則波が、振幅 $a_n$ 、周波数 $f_n$ 、波数 $k_n$ 、初期位相 $\theta_n$ をもつて $N$ 個の正弦波の重ね合せであるとする。その波が壁面で反射しに後の任意点での水位変化 $\eta(x, t)$ はつぎのように表わされる。

$$\eta(x, t) = \eta_i + \eta_r = \sum_{n=1}^N \{ a_n \exp i(k_n x + 2\pi f_n t + \theta_n) + b_n a_n \exp i(-k_n x + 2\pi f_n t + \theta_n + \varepsilon_n) \} \quad (1)$$

ここに、 $\varepsilon_n$ は反射するときに生ずる位相のずれ、 $b_n$ および $r_n$ はそれそれ入射波および反射波の水位、 $k_n$ は成分波の反射率を示している。ただし、 $x$ 軸は静水面にてり、入射波は負の方向に進行するものとする。いま、 $x = x_1$ での記録を $2\pi f_c$ で周波数変調し、時間平均とすれば、観測時間を $T_0$ として、

$$\frac{1}{T_0} \int_0^{T_0} \eta(x_1, t) \exp(-i2\pi f_c t) dt \approx a_c \exp i(2\pi k_c x_1 + \theta_c) + b_c a_c \exp i(-2\pi k_c x_1 + \theta_c + \varepsilon_c) \quad (2)$$

となる。上式の右辺は、 $\varepsilon_c \approx 0$ とし、とくに鉛直壁面を考えれば $x_1 = 0$ として

$$\frac{1}{T_0} \int_0^{T_0} \eta(0, t) \exp(-i2\pi f_c t) dt \approx a_c (1 + r_c) \exp i \theta_c \quad (3)$$

となり、周波数 $f_c$ における成分波の振幅 $a_c(1+r_c)$ および位相 $\theta_c$ を求めることができる。ほか入射波についても同様の解析を行はうと、振幅 $a_c$ および位相 $\theta_c$ が求まり、反射率 $r_c$ が求められる。実際の計算では $\eta(0, t)$ をデジタル化して計算を行はう。

### 4. 実験結果

図-1は入射波(下図)と鉛直壁面での重複波(上図)の記録した波形(水位変化)の1例を示したもので、この波形記録を1sec間隔で読みとり、組合せたそれそれの周期で

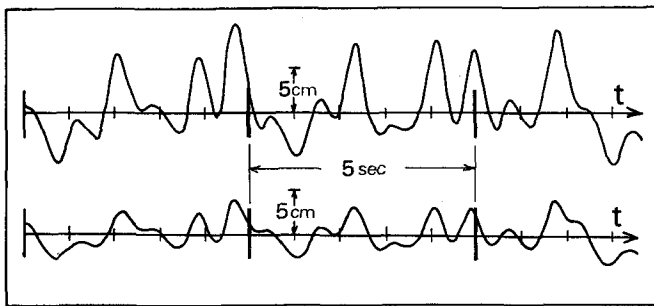


図-1 不規則波の波形記録

フーリエ解析して入射波および重複波の成分波高を求めた。図-2は成分波および單一波の反射率 $r$ を比較したものである。この図から $T$ が1.0sec以下の短周期の成分波が0.2~0.4の反射率にならのに対して、 $T$ が1.0sec以上になると反射率がすべて1.0以上になり、1.4にもなることがある。單一波のときは当然のことながらほぼ1.0という値をどうのに対して成分波の反射率がこのように單一波と異なるのは非常に興味深い。各種の周期の波を組合せたときの反射特性は、反射時に組合せた長周期の波へ短周期の波のエネルギーが移行することを示しているようにも考えられる。一方、不規則波の波形記録からゼロ・アップ・クロス法を用いて、入射波および鉛直壁面との一波ごとの波高および周期を求め、反射率 $r$ と周期 $T$ および波形こう配 $H/L$ についてプロットしたのが図-3および図-4である。図-3をみるとE-217については $T$ が0.75sec以上ではほぼ $r$ が1.2~1.3、 $T$ が0.75sec以下で0.55程度になら。E-2012については $T$ が2.4~2.8secの範囲で $r$ が1.0~1.3程度にならっている。こうした傾向は図-2にもみられる。図-3および図-4ともばらつきが大きく差別的に論ずることはできないが、やはり反射率 $r$ が1.4に近づくところを示している。もちろん図-3および図-4は図-2における考え方と根本的に異なるけれども、不規則波の反射特性を解明する手がかりとして参考にし、波の反射はそれそれの波が波ごとの反射によるものか、あるいはいかばら成分波からなるか、個々の波形で処理しうるものか、今後研究を進めてゆくつもりである。

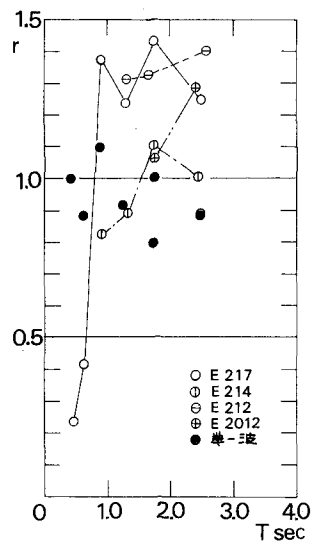


図-2 成分波および單一波の反射率の比較

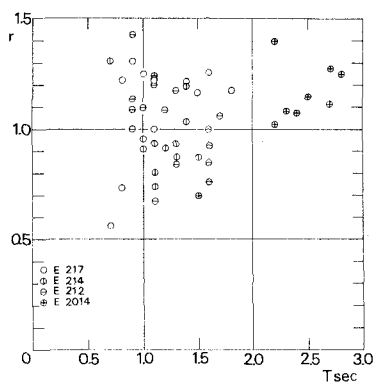


図-3 不規則波の反射率

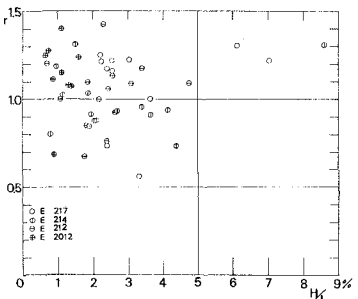


図-4 不規則波の反射率